



## Flood hazard modeling using the weight of evidences (WOE) method in Azarshahr Chai drainage basin



Mohammad Hossein Rezaei Moghaddam,<sup>\*1</sup> Davoud Mokhtari,<sup>2</sup> Tohid Rahimpour,<sup>3</sup> Vahideh Taghizadeh Teimourloei<sup>4</sup>

1. Professor of Geomorphology, Department of Geomorphology, University of Tabriz and Iranian Hazardology Association, Tabriz, Iran. [rezmogh@tabrizu.ac.ir](mailto:rezmogh@tabrizu.ac.ir)
2. Professor of Geomorphology, Department of Geomorphology, University of Tabriz, Tabriz, Iran. [d\\_mokhtari@tabrizu.ac.ir](mailto:d_mokhtari@tabrizu.ac.ir)
3. Postdoctoral researcher of Geomorphology, Department of Geomorphology, University of Tabriz, Tabriz, Iran. [Rahimpour1990@gmail.com](mailto:Rahimpour1990@gmail.com)
4. Ph.D. Student of Geomorphology, Department of Geomorphology, University of Tabriz, Tabriz, Iran. [v.taghizadeh1993@yahoo.com](mailto:v.taghizadeh1993@yahoo.com)

### Keywords

Zoning, WoE, Flood, Azarsharchai.

### A B S T R A C T

#### Introduction

One of the most widely recognized and accepted definitions of a flood has been provided by the National Flood Insurance Program (NFIP), managed by the U.S. Emergency Management Agency in 2020. According to this definition, a flood is characterized as a general and temporary condition involving the partial or complete inundation of two or more hectares of normally dry land areas. This inundation can result from the overflow of inland or tidal waters, the rapid and unusual accumulation of surface runoff from any source, mudflows, or land collapse and subsidence. It also includes land near the edge of a lake or other body of water that has eroded or weakened due to water currents or waves exceeding projected cyclic levels. Floods can significantly alter the structure and composition of ecosystems, restrict access to resources, increase exposure to diseases and pollutants, and lead to fatalities and the relocation of species. Flood damage is often mitigated through structural interventions such as dams and embankments, as well as non-structural measures like forecasting and public education. Accurate flood forecasting and susceptibility measurement are crucial for risk management.

The Azarshahr Chai Basin, located west of the Sahand mountain range, experiences annual spring floods due to rainfall. In April 2017, heavy rainfall (45 mm) caused a severe flood, with the Azarshahrchay River reaching 150 cubic meters per second, leading to significant damage and casualties. A comprehensive flood hazard map is urgently needed to prevent future disasters and reduce losses.

Received: 2024/01/14

Accepted: 2024/06/29

Published: 2025/04/19

\*Corresponding Author: Rezaei Moghaddam, M.H. E-mail: [rezmogh@tabrizu.ac.ir](mailto:rezmogh@tabrizu.ac.ir)

How to cite this article: Rezaei Moghaddam, Mohammad Hosseini., Mokhtari, Davoud., Rahimpour, Tohid., Taghizadeh Teimourloei, Vahideh. (2025). Flood hazard modeling using the weight of evidences (WOE) method in Azarshahr Chai drainage basin. Hydrogeomorphology, 12(42): 20 – 37.

DOI: [10.22034/hyd.2024.60081.1723](https://doi.org/10.22034/hyd.2024.60081.1723).



Copyright: © by the authors

Publisher: University of Tabriz

## Methodology

To create a flood hazard map for the Azarshahr Chai basin using the Weight of Evidence (WoE) method, 14 factors influencing flood occurrence were utilized. These factors include elevation, slope, aspect, slope curvature, distance to the river, distance to the road, river density, Topographic Wetness Index (TWI), Stream Power Index (SPI) derived from a 12-meter resolution Digital Elevation Model (DEM), lithology, soil type, precipitation data provided by the Regional Water Organization of East Azerbaijan Province, Normalized Difference Vegetation Index (NDVI), and a land use map extracted from LANDSAT8 satellite images. The data were analyzed and classified using ArcMap 10.3 and ENVI 5.3 software.

Using the LANDSAT8.C2.L2 image, the locations of 82 flood points from the April 2017 flood event in the basin were identified. Of these, 57 flood points were used as training data, while the remaining 25 points were reserved for validation. The Weight of Evidence model was then applied to calculate the positive and negative weights, final weight, and standardized final weight for each of the 14 parameters. By employing a weighted overlay in the ArcMap environment, the composite and final flood hazard map was generated. The accuracy of the model was validated and verified using the Receiver Operating Characteristic (ROC) curve.

## Results and Discussion

In this study, 14 influential factors contributing to flood events in the Azarshahr Chai basin were analyzed using the Weight of Evidence (WoE) model in ArcGIS software. The analysis was conducted across five distinct classes, with each class's flood-prone areas evaluated and weighted individually. Subsequently, the weight of each class, along with its final and standardized weight, was determined.

The flood hazard areas in the Azarshahr Chai basin were categorized into five levels: very high, high, moderate, low, and very low. These classes account for 19.56%, 19.18%, 24.61%, 21.94%, and 14.68% of the basin, respectively. The western regions of the basin, as well as the areas surrounding the Gonbarchai, Almalochai, and Azarshahrchai rivers, exhibit high and very high flood potential. In contrast, the highland areas are characterized by low and very low flood potential.

## Conclusions

The present study utilized the Weight of Evidence (WOE) method to generate a flood hazard map for the Azarshahrchay basin. Among the 14 indicators analyzed, slopes ranging from 0 to 15 degrees, concave surfaces, and flat terrains were identified as the most influential factors affecting flood frequency in the basin. The flood hazard potential map was categorized into five classes: very high, high, moderate, low, and very low. These classes account for 19.56%, 19.18%, 24.61%, 21.94%, and 14.68% of the basin area, respectively. Regions with very high flood hazard potential are predominantly situated in the western parts of the basin. In contrast, areas with medium, low, and very low hazard levels are primarily located in the central and eastern sections, including areas adjacent to the river.



## مدل سازی خطر وقوع سیل با استفاده از روش آماری وزن شواهد (WOE) در حوضه آبریز آذرشهر چای



محمدحسین رضائی مقدم<sup>۱\*</sup>، داود مختاری<sup>۲</sup>، توحیدر حبیم پور<sup>۳</sup>، وحیده تقی‌زاده تمیمورلویی<sup>۴</sup>

- ۱- استاد گروه ژئومورفولوژی، دانشکده برنامه‌ریزی و علوم محیطی دانشگاه تبریز و انجمن مخاطره شناسی ایران، تبریز، ایران. rezmogh@tabrizu.ac.ir
- ۲- استاد گروه ژئومورفولوژی، دانشکده برنامه‌ریزی و علوم محیطی دانشگاه تبریز، تبریز، ایران. d\_mokhtari@tabrizu.ac.ir
- ۳- پسادکتری گروه ژئومورفولوژی، دانشکده برنامه‌ریزی و علوم محیطی دانشگاه تبریز، تبریز، ایران. Rahimpour1990@gmail.com
- ۴- دانشجوی دکتری، گروه ژئومورفولوژی، دانشکده برنامه‌ریزی و علوم محیطی دانشگاه تبریز، تبریز، ایران. v.taghizadeh1993@yahoo.com

### چکیده

سیل زمانی اتفاق می‌افتد که ظرفیت کanal برای انتقال جریان بیش از حد باشد و باعث بالا رفتن آب از سطح کرانه‌ها و آب‌گرفتگی دشت سیلابی و مناطق مجاور شود. حوضه آبریز آذرشهر چای واقع در دامنه غربی توode کوهستانی سهند از اتصال آبراهه‌های متعددی که در دره‌های عمیق جاری هستند، تشکیل می‌شود و همه‌ساله در فصل بهار با شروع بارش‌ها، شاهد رخداد سیل در این دره‌ها می‌باشد. هدف از این پژوهش ارزیابی عملکرد تابع شواهد وزنی (WOE) در تهیه نقشه پتانسیل خطر وقوع سیل در سطح حوضه آبریز آذرشهر چای می‌باشد. جهت دسترسی به هدف مذکور، ابتدا موقعیت ۸۲ نقطه سیل‌گیر با استفاده از تصاویر ماهواره‌ای لندست ۸ سنجنده OLI بر اساس سیل فوردهای ماه ۱۳۹۶ تهیه و به صورت تصادفی به دو گروه ۷۰ درصد (۵۷ نقطه سیل‌گیر) برای داده‌های آموزشی و ۳۰ درصد (۲۵ نقطه سیل‌گیر) برای داده‌های اعتبارسنجی استفاده شد. سپس ۱۴ فاکتور مؤثر در وقوع سیل شامل ارتفاع، شبیب، جهت شبیب، انحنای شبیب، فاصله از آبراهه، فاصله از جاده، تراکم رودخانه، شاخص رطوبت توپوگرافی، شاخص قدرت آبراهه، لیتوژئی، جنس خاک، بارش و شاخص پوشش گیاهی در محیط نرم‌افزاری ArcGIS و کاربری اراضی در محیط نرم‌افزاری ENVI5.3 آنالیز و موقعیت نقاط سیل‌گیر در هر ۱۴ فاکتور بررسی و جهت اعتبارسنجی و صحت نتایج به دست آمده از منحنی مشخصه عملیاتی ROC استفاده گردید. نتایج حاصل از پژوهش نشان داد که ۱۹/۵۶ درصد از مساحت حوضه در کلاس پتانسیل خیلی بالا، ۱۹/۱۸ درصد در پتانسیل بالا، ۲۴/۶۱ درصد در کلاس متوسط، ۲۱/۹۴ درصد در کلاس کم و ۱۴/۶۸ درصد در کلاس خیلی کم از لحاظ پتانسیل خطر وقوع سیل قرار دارد.

### کلیدواژه‌ها

پهنه‌بندی، وزن شواهد، سیل، حوضه آبریز آذرشهر چای.

تاریخ دریافت: ۱۴۰۲/۱۰/۲۴

تاریخ پذیرش: ۱۴۰۳/۰۴/۰۹

تاریخ انتشار: ۱۴۰۴/۰۱/۳۰

**ارجاع این مقاله:** رضائی مقدم، محمدحسین؛ مختاری، داود؛ حبیم پور، توحید؛ تقی‌زاده تمیمورلویی، وحیده آذرشهرچای. هیدرورژئومورفولوژی، ۱۲(۴۲): ۳۷-۴۲.

نویسنده مسئول: محمدحسین رضائی مقدم

رایانه‌ای: rezmogh@tabrizu.ac.ir

DOI: 10.22034/hyd.2024.60081.1723 شناسه دیجیتال مقاله:



Copyright: © 2025 by the authors

Publisher: University of Tabriz

## مقدمه

سیلاب‌ها از عمدت‌ترین مخاطرات طبیعی هستند که سالانه خسارت‌های زیادی در سرتاسر جهان بر جای می‌گذارند (رضائی مقدم و همکاران، ۱۳۹۹: ۱۰۲). یکی از تعاریف شناخته شده و پذیرفته شده سیل توسط سازمان برنامه ملی بیمه سیلاب (NFIP) که توسط آژانس مدیریت بحران آمریکا<sup>۲</sup> اداره می‌شود، در سال ۲۰۲۰ ارائه شده است. در این تعریف آمده است: سیل یک وضعیت عمومی و موقتی طغیان جزئی یا کامل ۲ یا چند هکتار از مناطق معمولی زمین‌های خشک توسط سرریز آب‌های داخلی یا جزر و مدی، تجمع سریع و غیرعادی رواناب‌های سطحی از هر منبعی، جریان گلولای و فروریختن یا فرونوشت زمین در امتداد کرانه دریاچه یا بدنه آبی مشابه در نتیجه فرسایش یا تضعیف ناشی از امواج جریان‌های آبی فراتر از سطوح چرخه‌ای پیش‌بینی شده است (پاکال و همکاران، ۲۰۲۳: ۳۷۵). در سرتاسر سطح جهان، بیش از یک سوم سطح زمین در معرض سیلاب‌ها قرار دارد، جایی که بیش از ۷۰ درصد از جمعیت در آن سکونت دارد (آکسوی و همکاران<sup>۴</sup>، ۲۰۱۶).

رخداد سیل در کشور ایران مختص به منطقه و موقعیت خاصی نبوده و تمام کشور از این پدیده متاثر است، ولی با توجه به خصوصیات هر منطقه، تفاوت در نوع سیل و میزان خسارات وارد شده وجود دارد (شقیان و همکاران، ۱۳۹۸: ۳۴۹). طی چهار دهه گذشته تعداد وقوع سیل (۱۷۰۰ واقعه سیل) در کشور بیش از ۵ برابر نسبت به دهه ۱۳۴۰-۱۳۳۰ هست (گرگانیجی دوجی و همکاران، ۱۳۹۷: ۵۳۷). در سال ۲۰۱۵، بلایای طبیعی در ایران ۱۰۷ کشته و ۲۶،۴۸۱ مجروح یا آسیب‌دیده داشت. اخیراً تعداد سیلاب‌ها افزایش یافته و مناطق مختلف کشور را تحت تأثیر قرار داده است. سیل سال ۲۰۱۹ در ایران یکی از شدیدترین بلایای طبیعی در دهه‌های اخیر بوده است که بسیاری از استان‌ها را تحت تأثیر قرار داد. خسارات مالی قابل توجهی به بسیاری از شهرهای استان خوزستان در ۸ ژانویه ۲۰۱۹ وارد کرد. دوره جدیدی از بارندگی‌های شدید که از ۵ اسفند ۱۳۹۷ آغاز شد، نواحی شمالی ایران را سیلابی کرد و بسیاری از شهرهای استان‌های گلستان و مازندران را محاصره کرد. تداوم بارندگی در مناطق مرکزی و غربی ایران سرانجام ۲۵ استان را تحت تأثیر قرار داد. این در حالی است که بیشترین خسارت در استان‌های گلستان، خوزستان و لرستان با ۷۶ کشته و هزینه‌ای بالغ بر ۸۰۰ هزار دلار (۳۵۰ هزار میلیارد ریال) به ثبت رسیده است (محمدی‌نیا و همکاران، ۲۰۲۱: ۷۴).

سیل زمانی اتفاق می‌افتد که ظرفیت کanal برای انتقال جریان بیش از حد باشد و باعث بالا رفتن آب از سطح کرانه‌ها و آبگرفتگی دشت سیلابی و مناطق مجاور شود (تاریو و همکاران، ۲۰۲۳: ۲) و اغلب در رودخانه‌ها و دشت‌های سیلابی اتفاق می‌افتد که بیانگر خطر بالاتر در این مناطق است (جیانگ و همکاران، ۲۰۰۹: ۱۴۲۰). سیل می‌تواند ساختار و ترکیب اکوسیستم‌ها را تغییر دهد، دسترسی به منابع را کاهش دهد، قرار گرفتن در معرض عوامل بیماری‌زا و آلینده‌ها را افزایش دهد و باعث مرگ‌ومیر و جابجایی گونه‌ها شود (ابراهیمی و همکاران، ۲۰۲۳: ۲). برای کاهش خسارات ناشی از سیل، اغلب از اقدامات سازه‌ای مانند ساخت سدها و خاکریزها و اقدامات غیرسازه‌ای مانند پیش‌بینی و آموزش استفاده می‌شود (جلمر، ۲۰۱۳: ۲۱). پیش‌بینی و ارزیابی آسیب‌پذیری سیل نقش مهمی در درک و مدیریت خطرات مرتبط با سیل دارد (آدلکان<sup>۷</sup>، ۲۰۱۱: ۲۱۶).

از نقشه‌های پهنه‌بندی پتانسیل خطر وقوع سیل به عنوان ابزاری مفید و کارآمد در برنامه‌ریزی مسیر توسعه یک منطقه چه از لحاظ ساخت‌وساز و توسعه زمین‌های کشاورزی و باغ و چه از لحاظ مدیریت مخاطره سیلاب استفاده کرد (رضائی مقدم و رحیم‌پور، ۱۴۰۲: ۱۴۰۲). (۲۹۴).

مطالعات زیادی در زمینه پتانسیل سیل خیزی حوضه‌ها در جهان و ایران انجام شده است که نمونه‌ای این مطالعات و پژوهش‌ها در ادامه آمده است: پائول و همکاران<sup>۸</sup> (۲۰۱۹: ۱۲۰) با استفاده از مدل‌های نسبت فراوانی (FR)، وزن شواهد (WOE)، آنتروپی شanon (SE<sup>۱۱</sup>)، احتمال شرطی (CP<sup>۱۲</sup>) و ضریب قطعیت (CF<sup>۱۳</sup>) مناطق سیل خیز رودخانه گنگ-باگیراتی در زیرحوضه بانسلوی را بررسی و مدل وزن

1-National flood insurance program  
2- FEMA  
3- Pakhale et al  
4 - Aksoy et al  
5- Jiang et al

6- Jelmer  
7- Adelekan  
8- Paul et al  
9- Frequency ratio  
10- Weight of evidence

11- Shannon Entropy  
12- Conditional probability  
13- Certainty Factor

شواهد (WOE) با امتیاز ۹/۴۷ کمترین سازگاری را نسبت به مدل‌های ذکر شده در این زیرحوضه دارا می‌باشد. سینگ و پاندی (۲۰۲۱: ۹۱۳۲) با ادغام ۵ مدل نسبت فراوانی، ارزش عضویت فازی، وزن شواهد، شاخص آماری و ارزش اطلاعات با شاخص آنتروپی (IOE<sup>۱</sup>) درصد از ایالت اوتاکنده‌ی هیمالیا را مناطق با حسایت بالا از منظر وقوع سیل‌های ناگهانی طبقه‌بندی کردند. آرورا (۲۰۲۳: ۱۸۵۸) با استفاده از مدل فرآیند تحلیل سلسله مراتبی (AHP)، مدل چندمعیاره تصمیم‌تحلیل (MCDA<sup>۲</sup>، تابع شواهد قطعی (EBF<sup>۳</sup>، وزن شواهد (WOE) و نسبت فرکانس در حوضه رودخانه گنج در حوضه پایین‌دست رودخانه کاسی در هند، عوامل ژئومورفولوژی، شاخص رطوبت توپوگرافی (TWI<sup>۴</sup>)، کاربری زمین و تراکم رودخانه را غالب‌ترین عوامل برای ایجاد سیل در این حوضه دانست. مدل وزن شواهد (WOE) با امتیاز ۰/۷۸۷ کمترین دقت را نسبت به مدل‌های ذکر شده در پیش‌بینی سیل در این حوضه به خود اختصاص داده است. مائولانا و همکاران<sup>۵</sup> (۲۰۲۳: ۱۷) با مقایسه روش‌های نسبت فراوانی (FR) و وزن شواهد (WOFE) نقشه مناطق سیل‌خیزی ناحیه گندینگ مالزی را به تصویر کشیدند و بیان کردند مدل نسبت فراوانی (FR) نسبت به وزن شواهد در پیش‌بینی مناطق مستعد سیل این ناحیه عملکرد بهتری دارد. شرفات چودهوری (۲۰۲۴: ۲۶) مناطق مستعد سیل در نواحی شمال‌شرقی بنگلادش را با مدل‌های نسبت فرکانس (FR)، وزن شواهد (WOE)، ضربی قطعیت (CF)، آنتروپی شانون (SE) و مقدار اطلاعات (IV<sup>۶</sup>) بررسی و عوامل توپوگرافی و هیدرولوژیکی را از عوامل مهم در وقوع سیل ناگهانی در این منطقه دانست. همچنین مدل WOE بهترین مدل در پیش‌بینی مناطق سیل‌خیزی این مناطق دانست. سیاه‌کمری و زینی‌وند (۱۳۹۵: ۱۱۶) حوضه آبخیز مادرسو استان گلستان را از منظر سیل‌خیزی با استفاده از ۲ مدل شاخص آماری و وزن شواهد بررسی و ارتفاعات کمتر از ۵۰۰ متر، جهت شیب مسطح، تراکم زهکشی بیش از ۰/۳۳ (کیلومتر بر کیلومتر مربع)، فاصله ۵۰۰-۲۰۰۰ متری رودخانه، تیپ خاک مالی سول، سنگ‌های دوران کواترنری و همچنین اراضی کشاورزی با بیشترین وزن‌ها، مهم‌ترین عوامل علتی وقوع رخداد سیل و آب گرفتگی این حوضه دانستند. رضوی‌ترمه و همکاران (۱۳۹۷: ۶۷) نقشه پتانسیل سیل‌گیری شهرستان جهرم را با استفاده از روش‌های تصمیم‌گیری چند-معیاره تحلیل سلسله مراتبی (AHP)، تاپسیس و مدل آماری وزن واقعه (WOE) و مقایسه دقت آن‌ها به تصویر کشیدند و بیان کردند مدل آماری وزن واقعه نسبت به دو مدل دیگر از قدرت پیش‌بینی بیشتری در ناحیه برخوردار است. صفاری و همکاران (۱۴۰۱: ۱۴۷) با مقایسه قابلیت اعتماد مدل‌های آنتروپی شانون، نسبت فراوانی و وزن شواهد در حوضه چشمکه کیله در تنکابن، بیان کردند که تکنیک نسبت فراوانی (FR)، وزن شاهد (WOE) و آنتروپی شانون (SE) به ترتیب اولویت، دارای بیشترین دقت در پیش‌بینی وقوع سیلاب این حوضه هستند. رضائی‌مقدم و رحیم‌پور (۱۴۰۳: ۹۱) با استفاده از روش آماری وزن شواهد (WOE) حوضه آبریز آجی‌چای را از منظر پتانسیل وقوع سیل بررسی و نقشه پتانسیل سیل این حوضه را تهیه کردند. نتایج تحقیق ایشان نشان داد که بیش از ۳۰ درصد از مساحت حوضه در پهنه‌های زیاد و خیلی‌زیاد از نظر خطر وقوع سیل قرار دارند. کلان‌شهر تبریز نیز به عنوان مهم‌ترین مرکز جمعیتی داخل حوضه به دلیل قرارگیری در مسیر رودخانه‌های آجی‌چای و مهران‌رود در پهنه‌های پر خطر قرار دارد که آسیب‌پذیری آن را در هنگام وقوع سیلاب‌های مخرب نشان می‌دهد.

بررسی پژوهش‌های صورت گرفته بیانگر اهمیت بررسی مناطق مستعد سیل در سطح جهان و ایران بوده است. حوضه آبریز آذرشهر‌چای واقع در دامنه غربی توده کوهستانی سهند از اتصال شاخاب‌های متعدد که در دره‌های عمیقی جاری هستند، تشکیل می‌شود و همه ساله در فصل بهار با شروع بارش‌ها، شاهد رخداد سیل در این دره‌ها می‌باشد. در فروردین ماه ۱۳۹۶ در پی افزایش بی‌سابقه بارش به ۴۵ میلی‌متر و افزایش دبی رودخانه آذرشهر‌چای به ۱۵۰ متر مکعب بر ثانیه، سیل در این حوضه رخ داد و موجب وارد آمدن تلفات و خسارات زیادی شد (سازمان زمین‌شناسی و اکتشافات معدنی کشور، ۱۳۹۶) لذا با توجه به سیل‌خیز بودن منطقه، نیاز به یک نقشه جامع شناسایی مناطق در معرض خطر وقوع سیل جهت جلوگیری از رخداد این پدیده و کاهش خسارات و تلفات احساس می‌شود. بنابراین در پژوهش حاضر تلاش گردید با استفاده از مدل آماری WOE و ۱۴ پارامتر موثر در رخداد سیل مناطق مستعد سیل در این حوضه شناسایی شوند.

1- Entropy Index

2- Analytical Hierarchy Process

3- Multi-Criteria Decision Making

4- evidential belief function

5- topographic wetness index

6- Maulana et al

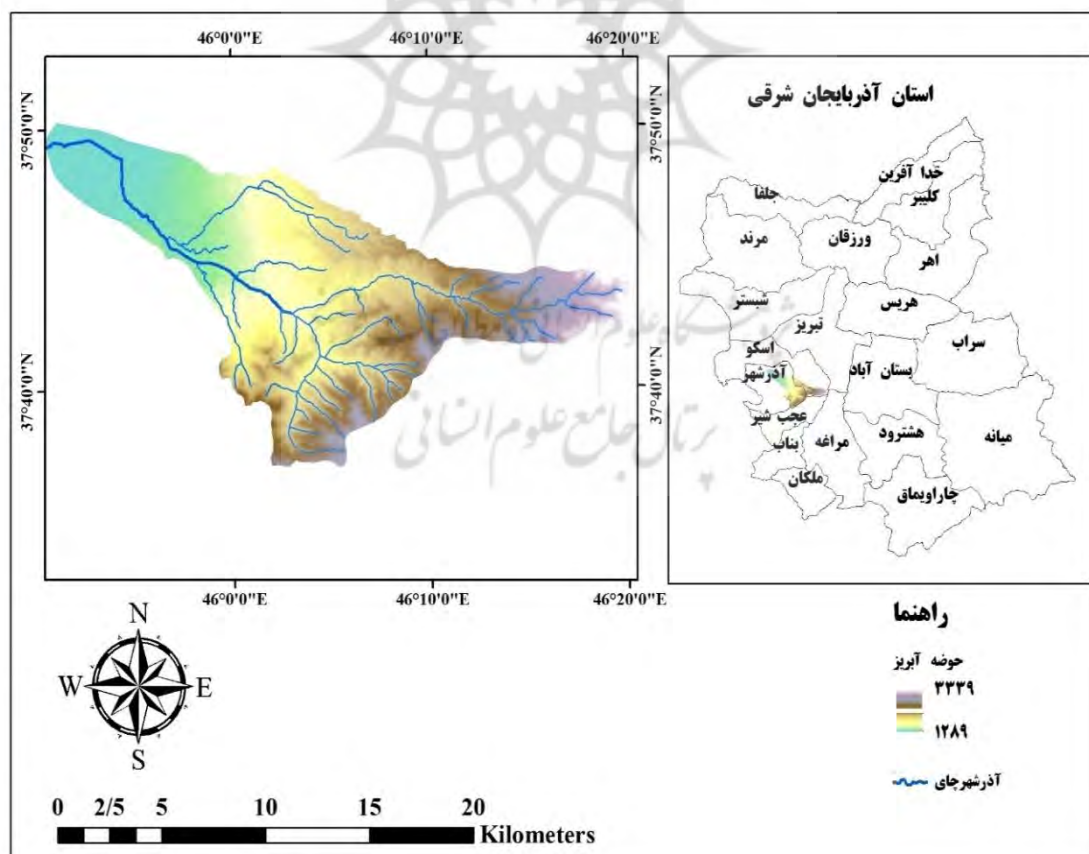
7- Intravenous

بر اساس بررسی‌های انجام شده تاکنون با استفاده از مدل WOE مناطق مستعد سیل در این حوضه آبریز مورد بررسی قرار نگرفته است که به نوبه خود نوعی نوآوری در این حوضه است.

## مواد و روش‌ها

### منطقه مورد مطالعه

حوضه آبریز آذرشهرچای از نظر مختصات جغرافیایی در  $36^{\circ}37'0''$  عرض شمالی،  $49^{\circ}44'0''$  طول شرقی واقع شده است. ارتفاعات کوهستان سهند، انتهای شرقی و جلگه آذرشهر، بخش انتهای غربی آن را تشکیل می‌دهد. میانگین بارش سالانه حوضه طبق اطلاعات ایستگاه‌های سینوپتیک و باران‌سنجی موجود در سطح منطقه حدود ۳۶۰ میلی‌متر می‌باشد. در فصول سرد سال بارش‌ها بیشتر به صورت برف در ارتفاعات منطقه ذخیره شده و با شروع فصل بهار و ذوب برف‌ها، رودخانه‌های منطقه حالت طغیانی به خود می‌گیرند. این حوضه شامل دو دره گنبد و آملالو است که در بخش کوهستانی دره‌ها به صورت عمیق و پیچ و خم‌دار است و در بخش پایانی و محدوده توپوگرافی کوهستانی، شب ملایم شده، از شدت ناهمواری کاسته می‌شود (بیاتی خطیبی و همکاران، ۱۳۹۰: ۲۳). شکل حوضه آبریز آذرشهرچای هرم نامنظم بوده که قطر بزرگ آن در جهت شرقی-غربی و قطر کوچک آن در جهت شمال-جنوب است. با حوضه‌های آسکو در دامنه شمالی و با حوضه قلعه‌چای و عجب‌شیر در دامنه جنوبی دارای خط‌الراس مشترک است و در غرب در ارتفاع ۱۲۷۴ متری به دریاچه ارومیه می‌رسید. این حوضه از اتصال شاخاب‌های متعدد که دره‌های عمیقی جاری هستند، تشکیل می‌شود؛ اما اصلی‌ترین شاخاب آن گنبدچای است که از قلل قرمیش‌داغ و میدان‌داغی سرچشمه می‌گیرد. در نزدیکی روستای گواهیر شاخاب عمده دیگری به نام‌های آملالوچای و امیردیزج چای دریافت می‌کند و از روستای گواهیر به بعد آذرشهرچای نام می‌گیرد و در نهایت در ادامه مسیر خود به دریاچه ارومیه می‌رسید (بیاتی خطیبی و همکاران، ۱۳۸۳: ۱۱۲).



شکل(۱): موقعیت جغرافیایی حوضه آبریز آذرشهرچای

Fig (1): The geographical location of the Azarshahrchay Basin

## مدل آماری وزن شواهد (WOE)

WOE یا روش وزن شواهد یک اصطلاح رایج در ادبیات علمی است که اغلب در زمینه ارزیابی ریسک به کار برده می‌شود (دالکاس<sup>۱</sup>، ۲۰۰۵: ۱۵۵۱). این روش در واقع یک آنالیز دومتغیره است که از ارتباط میان متغیرهای پیش‌بینی‌کننده یک پدیده و موقع آن پدیده تشکیل شده است و بر نسخه خطی تئوری عمومی بیزین استوار است (باستا و براهیم<sup>۲</sup>، ۲۰۱۸: ۳). مقادیر وزن را می‌توان بر اساس سهم عوامل ایجاد کننده در بروز سیل با استفاده از فرمول شرح داده شده توسط کارت و همکاران محاسبه کرد که در آن وزن مثبت و منفی برای درک همبستگی مکانی در حضور یا عدم حضور عوامل ایجاد کننده سیل است:

$$W^+ = \ln \frac{\frac{N_{pix1}}{N_{pix1} + N_{pix2}}}{\frac{N_{pix3}}{N_{pix3} + N_{pix4}}} \quad (1)$$

$$W^- = \ln \frac{\frac{N_{pix2}}{N_{pix1} + N_{pix2}}}{\frac{N_{pix4}}{N_{pix3} + N_{pix4}}} \quad (2)$$

Npix1: تعداد پیکسل‌های وقوع سیل در هر کلاس

Npix2: تعداد پیکسل‌های سیل در هر نقشه-تعداد پیکسل‌های وقوع سیل در هر کلاس

Npix3: پیکسل‌های هر کلاس- تعداد پیکسل‌های وقوع سیل در هر کلاس

Npix4: تعداد کل پیکسل‌های هر نقشه - تعداد کل پیکسل‌های وقوع سیل در هر نقشه-تعداد پیکسل‌های هر کلاس + تعداد پیکسل‌های وقوع سیل در هر کلاس (مرشا و متن، ۲۰۲۰: ۱۰).

در این فرمول وزن مثبت بیانگر نقش فاکتور در رخداد سیل است و بزرگی آن نشانگر همبستگی مثبت بین آنهاست. وزن منفی عدم نقش داشتن عامل در بروز سیل و بزرگی آن نشانگر همبستگی منفی می‌باشد (گیتاج و همکاران<sup>۳</sup>، ۲۰۲۱: ۱۲). اختلاف میان وزن مثبت و منفی قدرت رابطه میان عوامل ایجاد کننده و سیل را اندازه‌گیری می‌کند (مرشا و متن، ۲۰۲۰: ۱۱). جهت تعیین وزن نهایی هر کلاس از روابط زیر استفاده می‌شود:

$$C = W^+ - W^- \quad (3)$$

$$W_{final} = C/S_c \quad (4)$$

C: تفاضل وزن‌های مثبت و منفی

W<sub>final</sub>: وزن نهایی استاندارد شده

S<sub>c</sub>: انحراف استاندارد که برابر با جذر واریانس هر یک از وزن‌های مثبت و منفی است (پورقادسی و همکاران، ۱۳۹۲). و از رابطه زیر محاسبه می‌شود (لی و چوی<sup>۴</sup>، ۲۰۰۳: ۷۸۹):

$$S_c \sqrt{SW^+ + SW^-} \quad (5)$$

واریانس وزن‌های مثبت و منفی از روابط زیر حاصل می‌شود:

$$SW^+ = \text{تعداد نقاط سیل در هر کلاس} / ۱ \quad (6)$$

$$SW^- = \text{تعداد نقاط سیل در هر کلاس- تعداد نقاط سیل در حوضه آبریز} / ۱ \quad (7)$$

## ارزیابی و اعتبارسنجی

به منظور ارزیابی نقشه خطر وقوع سیل به دست آمده از مدل مورد استفاده، از منحنی مشخصه عملیاتی دریافت‌کننده یا منحنی مشخصه

1- Douglas

2- Bousta, Brahim

3- Mersha, Meten

4- Getachew et al

5- Lee, Choy

عملکرد سیستم (ROC) و سطح زیر منحنی (AUC<sup>۱</sup>) استفاده شده است. در منحنی ROC روی محور X مقدار تشخیص‌پذیری یا ویژگی (Specificity) نسبت پیکسل‌های بدون سیل که به درستی به عنوان بدون سیل طبقه‌بندی شده‌اند و روی محور Y مقدار حساسیت (Sensitivity) نسبت پیکسل‌های سیل که به درستی به عنوان سیل طبقه‌بندی شده‌اند، مشخص می‌باشد. مقادیر Specificity و Sensitivity با استفاده از روابط زیر محاسبه می‌شوند:

$$\text{specificity} = \frac{\text{TN}}{\text{TN} + \text{FP}} \quad (8)$$

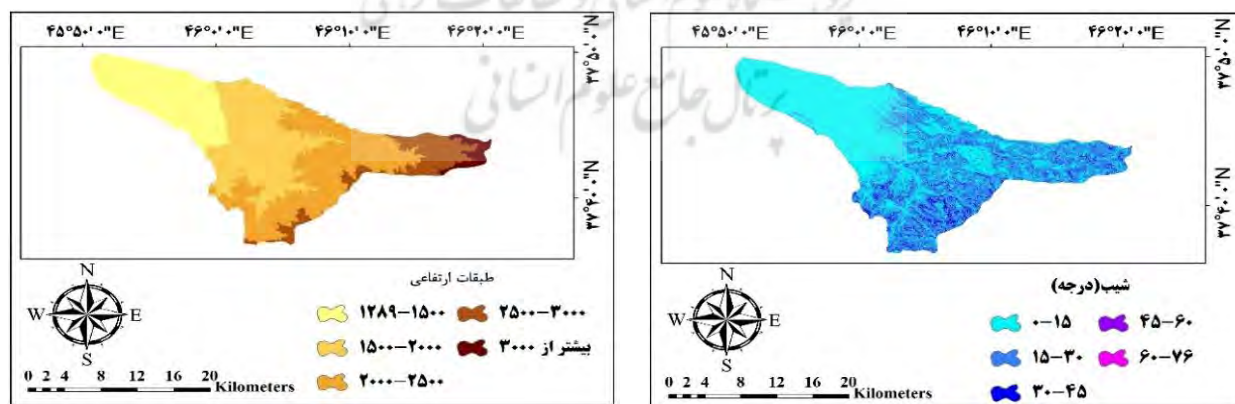
$$\text{sensitivity} = \frac{\text{TP}}{\text{TP} + \text{FN}} \quad (9)$$

که در آن TN تعداد مناطق بدون سیل که درست تشخیص داده شده‌اند؛ FP تعداد نقاط سیل که اشتباه تشخیص داده شده‌اند؛ TP تعداد نقاط سیل که درست تشخیص داده شده‌اند و FN تعداد نقاط بدون سیل که اشتباه تشخیص داده شده‌اند. جهت نشان دادن عملکرد هر یک از مدل‌های ترکیبی از شاخص آماری صحت (Accuracy) نیز استفاده شده است. این شاخص نسبت نقاط سیل‌گیر و بدون سیل که به درستی طبقه‌بندی شده‌اند را نشان می‌دهد (رحیم پور و همکاران، ۱۴۰۲:۸).

$$\text{Accuracy} = \frac{\text{TP} + \text{TN}}{\text{TP} + \text{TN} + \text{FP} + \text{FN}} \quad (10)$$

#### تهیه لایه‌های اطلاعاتی

در پژوهش حاضر ۱۴ پارامتر مؤثر در وقوع سیل شامل ارتفاع، شب، جهت شب، انحنای شب، فاصله از آبراهه، تراکم رودخانه، شاخص قدرت آبراهه، شاخص رطوبت توپوگرافی، لیتولوژی، جنس خاک و بارش، شاخص نرمال شده تفاوت پوشش گیاهی (NDVI<sup>۲</sup>) و کاربری اراضی انتخاب و مورد بررسی قرار گرفت. سپس لایه‌های اطلاعاتی هر شاخص به تفکیک با استفاده از نرم‌افزارهای ArcGIS و ENVI5.3 تهیه شدند. شاخص‌های ارتفاع، شب، فاصله از آبراهه، تراکم رودخانه، شاخص قدرت آبراهه، شاخص رطوبت توپوگرافی جهت سهولت در بررسی در ۵ طبقه و پارامتر جهت شب در ۹ طبقه (با توجه به جهات جغرافیایی) و انحنای شب در ۳ طبقه با استفاده از مدل رقومی ارتفاعی (DEM<sup>۳</sup>) با قدرت تفکیک مکانی ۱۲/۵ متر تهیه شد. نقشه بارش منطقه با استفاده از داده‌های شرکت آب منطقه‌ای و سازمان هواسناسی استان آذربایجان شرقی و با روش درون‌بازی IDW تهیه گردید. جهت تهیه نصفه‌های شاخص پوشش گیاهی و کاربری اراضی منطقه از تصاویر ماهواره‌ای لندست ۸ به تاریخ ۱۴ زوئیه ۲۰۲۳ (۲۳ تیر ۱۴۰۲) استفاده شده و انواع کاربری‌ها با روش طبقه‌بندی نظارت‌شده و الگوریتم حداقل احتمال، شناسایی شدند.

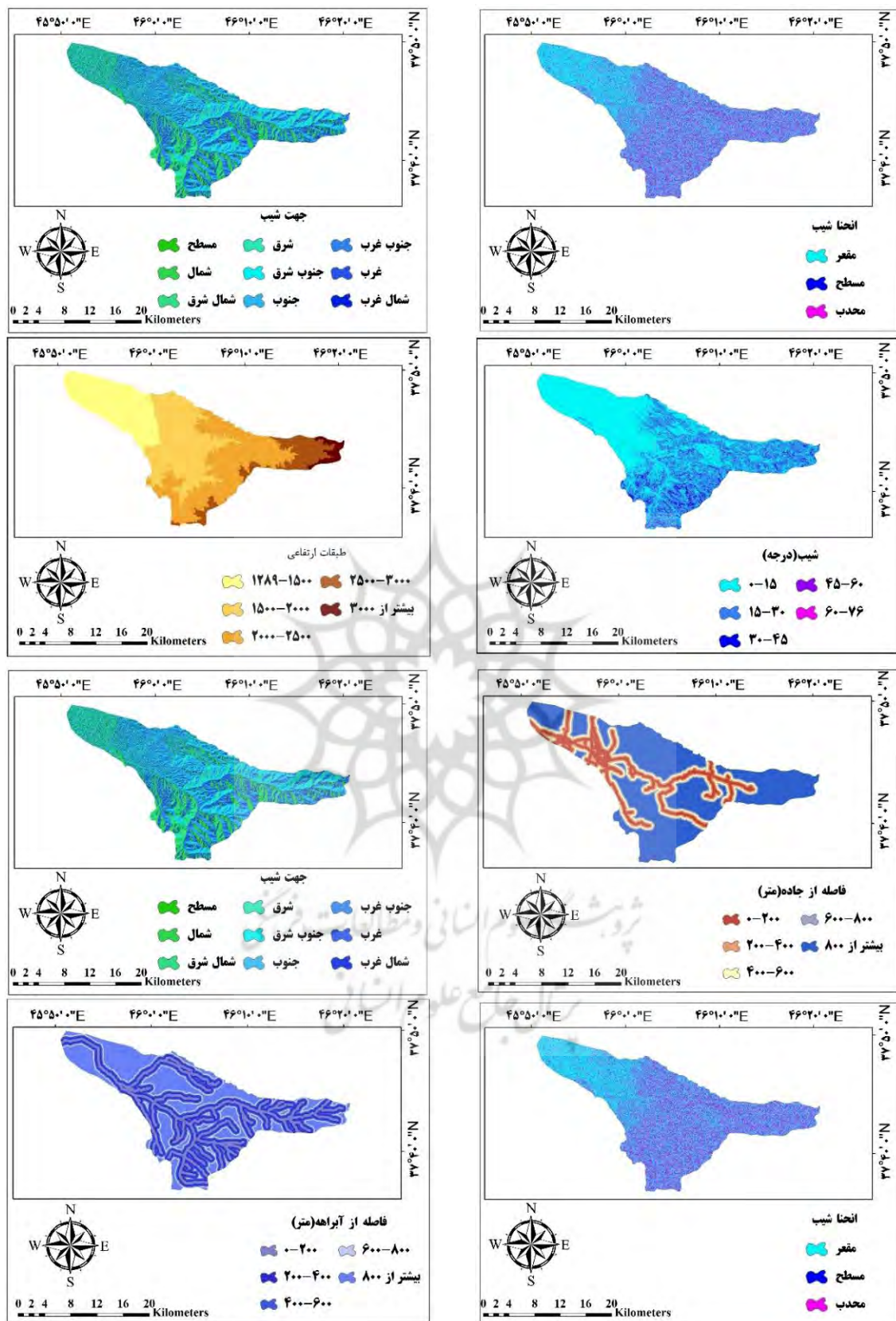


شکل (۲): نقشه پارامترهای مؤثر در پتانسیل خطر وقوع سیل  
Figure (2): Effective parameters map in flood hazard potential

۱- Receiver Operating Characteristics  
2- Area Under the ROC Curve

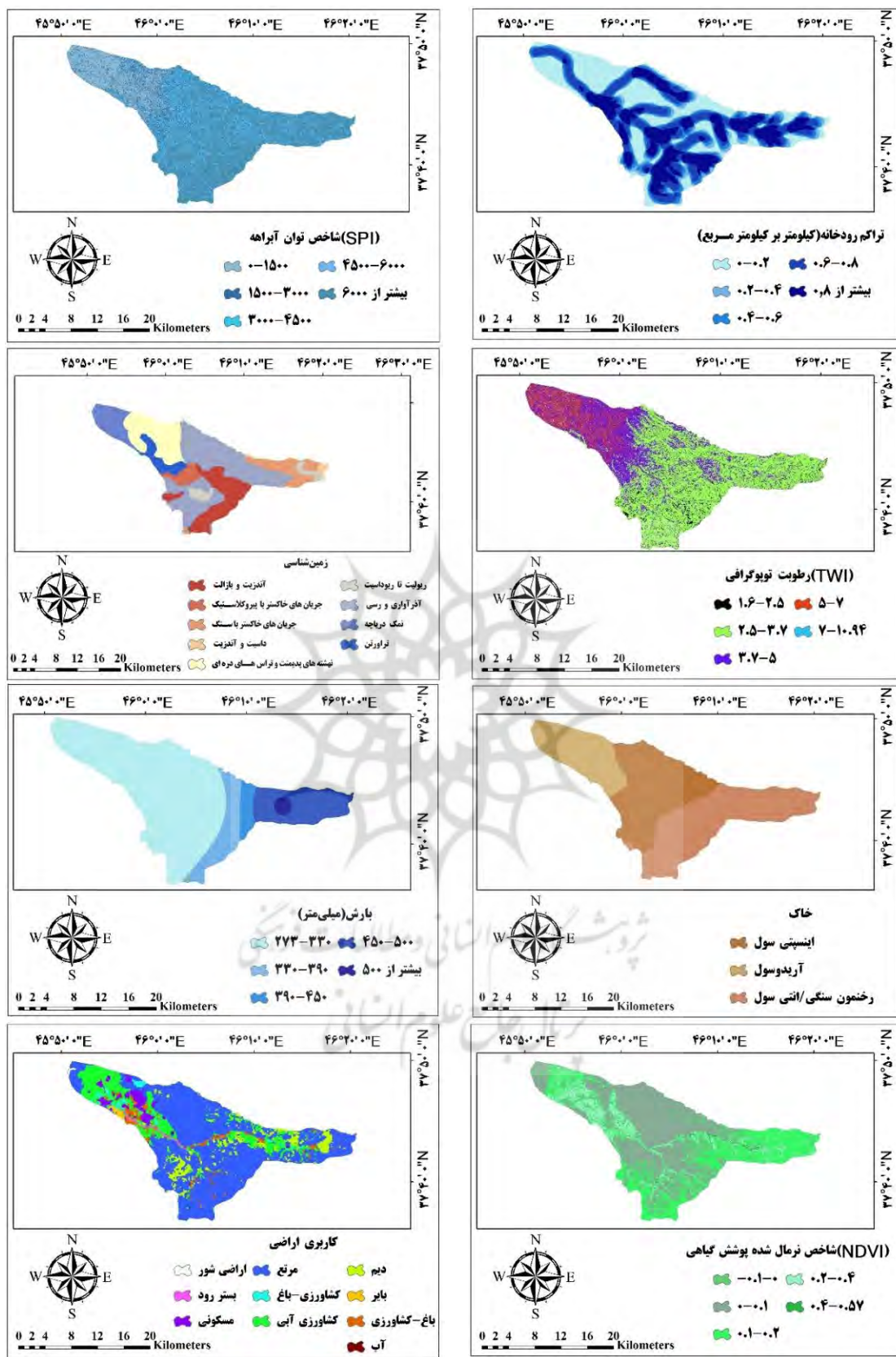
3- Normalized difference vegetation index

4- Digital Elevation Model



ادامه شکل(۲): نقشه پارامترهای مؤثر در پتانسیل خطر وقوع سیل

Figure (2): Effective parameters map in flood hazard potential



ادامه شکل(۲): نقشه پارامترهای مؤثر در پتانسیل خطر وقوع سیل

Figure (2): Effective parameters map in flood hazard potential

## بحث

در پژوهش حاضر ۱۴ پارامتر مؤثر در وقوع سیل جهت تهیه نقشه پتانسیل خطر وقوع سیل در سطح حوضه آبریز آذربایجان غربی انتخاب و بر اساس مدل آماری وزن شواهد مورد بررسی قرار گرفتند. نتایج بررسی ارتباط احتمالی بین متغیرهای وابسته و مستقل و همچنین ضرایب وزنی هر یک از کلاس‌های مربوط به لایه‌های اطلاعاتی با استفاده از روش WOE در جدول (۱) ارائه شده است.

جدول (۱): ارتباط میان هر یک از عوامل موثر و نقاط سیل با استفاده از مدل WOE

Table (1): The relationship between each of the effective factors and flood points using the WOE model

پارامتر	کلاس	نقاط سیل	WF	SC	SW <sup>-</sup>	SW <sup>+</sup>	C	w <sup>-</sup>	w <sup>+</sup>
۱۲۸۹-۱۵۰۰	۳۹	-۱/۴۳	-۰/۶۴۱	۰/۲۸۴	۰/۰۵۵	۰/۰۲۵	-۰/۶۴۱	-۰/۷۸۹	-۰/۷۷۶
۱۵۰۰-۲۰۰۰	۱۶	-۰/۰۸۶	-۰/۱۲۱	۰/۲۹۴	۰/۰۲۴	۰/۰۶۲	-۰/۴۱۳	-۰/۰۳۵	-۰/۴۱۳
ارتفاع (متر)	۰	-۲/۲۲۷	-۰/۳۵۷	۰/۷۱۹	۰/۰۱۸	۰/۵	-۳/۵۹۱	-۰/۰۱۱	-۰/۰۱۷
بیشتر از ۳۰۰۰	۰	-۰/۰۲۴	-۰/۰۲۴	-۰/۰۱۷	۰/۰۱۷	۰/۰۱۷	-۰/۰۱۷	-۰/۰۲۴	-۰/۰۱۷
۰-۱۵	۵۲	-۰/۰۴۴	-۱/۵۴۸	-۰/۰۱۹	-۰/۰۲	-۰/۰۱۹	-۰/۰۱۹	-۰/۰۴۶۸	-۰/۰۴۶۸
شیب (درجه)	۵	-۱/۴۱۹	-۰/۳۵۸	-۰/۱۷۷	-۰/۰۲	-۰/۰۱۹	-۳/۷۹۷	-۰/۰۱۹	-۰/۰۴۶۸
۳۰-۴۵	۰	-۰/۰۴۸	-۰/۰۰۴۸	-۰/۰۱۷	-۰/۰۱۷	-۰/۰۱۷	-۰/۰۱۷	-۰/۰۱۷	-۰/۰۱۷
۴۵-۶۰	۰	-۰/۰۰۲	-۰/۰۰۰۲	-۰/۰۰۰۲	-۰/۰۰۰۲	-۰/۰۰۰۲	-۰/۰۱۷	-۰/۰۱۷	-۰/۰۱۷
۶۰-۷۶	۰	-۰/۰۰۰۲	-۰/۰۰۰۲	-۰/۰۱۷	-۰/۰۱۷	-۰/۰۱۷	-۰/۰۱۷	-۰/۰۱۷	-۰/۰۱۷
مقرر	۴۵	-۰/۰۲۵۴	-۰/۰۱۱۱	-۰/۰۸۶۵	-۰/۰۲۲	-۰/۰۸۳	-۰/۰۳۲۴	-۰/۰۰۸۳	-۰/۰۳۲۴
انحناسیب	۰	-۰/۰۰۰۲	-۰/۰۰۰۲	-۰/۰۱۷	-۰/۰۱۷	-۰/۰۱۷	-۰/۰۱۷	-۰/۰۱۷	-۰/۰۱۷
محلب	۱۲	-۰/۰۶۱۱	-۰/۰۲۵۴	-۰/۰۸۶۵	-۰/۰۲۲	-۰/۰۸۳	-۰/۰۳۲۴	-۰/۰۰۸۳	-۰/۰۳۲۴
۰-۲۰۰	۳۲	-۰/۰۹۳۶	-۰/۰۵۷۵	-۰/۰۵۱۱	-۰/۰۳۱	-۰/۰۳۱	-۰/۰۳۲۴	-۰/۰۰۴	-۰/۰۳۲۴
فاصله از آبراهه (متر)	۳	-۱/۳۱۹	-۰/۱۶۵	-۱/۴۸۴	-۰/۰۱۸	-۰/۰۳۳	-۰/۰۹۳	-۰/۰۱۸	-۰/۰۹۳
۴۰۰-۶۰۰	۳	-۱/۱۲۹	-۰/۰۷۷	-۱/۲۹۹	-۰/۰۱۸	-۰/۰۳۳	-۰/۰۹۳	-۰/۰۱۸	-۰/۰۹۳
۶۰۰-۸۰۰	۳	-۰/۰۷۹۹	-۰/۰۰۷	-۰/۰۸۶۹	-۰/۰۰۲	-۰/۰۳۳	-۰/۰۹۳	-۰/۰۱۸	-۰/۰۹۳
بیشتر از ۸۰۰	۱۶	-۰/۰۰۷۶	-۰/۰۳۱	-۰/۰۱۰۷	-۰/۰۶۲	-۰/۰۲۴	-۰/۰۲۹۴	-۰/۰۲۹۴	-۰/۰۳۶۴
۰-۲۰۰	۱۸	-۰/۰۸۲۰	-۰/۰۲۲۹	-۱/۰۴۹	-۰/۰۵۵	-۰/۰۲۵	-۰/۰۲۸۴	-۰/۰۲۸۴	-۰/۰۶۸۵
فاصله از جاده (متر)	۱۲	-۰/۰۷۴۳	-۰/۰۱۳	-۰/۰۸۷۳	-۰/۰۰۸۳	-۰/۰۲۲	-۰/۰۲۲۴	-۰/۰۰۸۴	-۰/۰۶۸۹
۴۰۰-۶۰۰	۵	-۰/۰۰۳۶	-۰/۰۰۰۳	-۰/۰۳۹	-۰/۰۱۹	-۰/۰۲۲	-۰/۰۴۶۸	-۰/۰۰۸۴	-۰/۰۴۶۸
۶۰۰-۸۰۰	۵	-۰/۰۱۷۶	-۰/۰۰۱۵	-۰/۰۱۹۱	-۰/۰۱۹	-۰/۰۱۹	-۰/۰۴۶۸	-۰/۰۰۱۹	-۰/۰۴۰۸
بیشتر از ۸۰۰	۱۷	-۰/۰۷۰۳	-۰/۰۰۷۳	-۰/۰۷۷۶	-۰/۰۰۵۸	-۰/۰۲۵	-۰/۰۲۸۹	-۰/۰۰۲۵	-۰/۰۳۹۴
۰-۲۰۰	۱۶	-۰/۰۰۹۷	-۰/۰۰۴	-۰/۱۳۷	-۰/۰۶۲	-۰/۰۲۴	-۰/۰۲۹۴	-۰/۰۰۲۴	-۰/۰۴۶۹
ترواکم	۱	-۱/۶۳۳	-۰/۰۷۶	-۱/۷۰۹	-۱	-۰/۰۱۷	-۰/۰۰۰۸	-۰/۰۱۷	-۱/۶۹۴
رودانه	۱	-۰/۰۲۰۴	-۰/۰۶۳۳	-۰/۰۷۶	-۱/۷۰۹	-۰/۰۱۷	-۰/۰۰۰۸	-۰/۰۱۷	-۱/۶۹۴
(کیلومتر بر کیلومتر)	۴	-۰/۰۶۱۹	-۰/۰۰۸۶	-۰/۰۶۸۵	-۰/۰۲۵	-۰/۰۱۸	-۰/۰۱۸	-۰/۰۱۸	-۱/۳۲۴
۰,۴-۰,۶	۱۶	-۰/۰۲۵۴	-۰/۰۰۸۳	-۰/۰۳۷	-۰/۰۰۶۲	-۰/۰۲۴	-۰/۰۲۹۴	-۰/۰۰۲۴	-۱/۱۴۷
۰,۶-۰,۸	۱۶	-۰/۰۳۲۸	-۰/۰۱۴۱	-۰/۰۴۶۹	-۰/۰۰۵	-۰/۰۲۷	-۰/۰۲۷۷	-۰/۰۰۲۷	-۱/۶۹۳
مربع)	۲۰	-۰/۰۰۸	-۰/۰۱۴۱	-۰/۰۴۶۹	-۰/۰۰۵	-۰/۰۲۷	-۰/۰۲۷۷	-۰/۰۰۲۷	-۰/۰۴۶۹

ادامه جدول (۱): ارتباط میان هر یک از عوامل موثر و نقاط سیل با استفاده از مدل WOE

Table (1): The relationship between each of the effective factors and flood points using the WOE model

WF	SC	SW <sup>-</sup>	SW <sup>+</sup>	C	w <sup>-</sup>	w <sup>+</sup>	نقاط سیل	کلاس	پارامتر
۳/۴۴۹	۰/۲۸	۰/۰۲۶	۰/۰۵۲	۰/۹۶۸	-۰/۲۳۱	۰/۷۳۷	۱۹	نهشته های پدیده های دره ای	
۵/۵۹۹	۰/۲۸۴	۰/۰۲۵	۰/۰۵۵	۱/۵۹۵	-۰/۲۹	۱/۳۰۵	۱۸	نمک دریاچه	
-۲/۹۲۲	۰/۳۴۸	۰/۰۲۱	۰/۱	-۱/۰۱۶	۰/۲۶۹	-۰/۷۴۷	۱۰	سنگ های آذرآواری و رسی با بقایای جانداران	
								مهره دار	
								سنگ های داسیت و آندزیت نیمه آتش	
								فشنای	
-۰/۵۸۶	۰/۷۱۹	۰/۰۱۸	۰/۵	-۰/۴۲۱	۰/۰۱۸	-۰/۴۰۳	۲	تراورتن	
								حریان های خاکستر	
								همراه با سنگ	
								حریان های خاکستر	
-۰/۷۹۵	۱/۰۰۸	۰/۰۱۷	۱	-۰/۸۰۲	۰/۰۲۱	-۰/۷۸۱	۱	همراه با سنگ های پیروکلاستیک، کنگلومرا، ماسه سنگ و شیل	
								سنگ های آتش فشنای	
-۲/۰۳۵	۰/۵۹۳	۰/۰۱۸	۰/۰۲۳۳	-۱/۲۰۶	۰/۱۱۶	-۱/۰۹	۳	آندزیت و بازالت	
								سنگ های نیمه آتش	
								فشنای ریولیت تا ریوداسیت	
۱/۱۶۳	۰/۵۱۸	۰/۰۱۸	۰/۲۵	۰/۶۰۲	-۰/۰۳۲	۰/۵۷	۴		
								اینسپتی سول	
								آریدوسول	
-۴/۰۵۶	۰/۳۶۳	۰/۰۲	۰/۱۱۱	-۱/۳۴۹	۰/۳۷۲	-۰/۹۷۷	۹	برون زدهای سنگی	
۰/۶۶۷	۰/۵۹۳	۰/۰۱۸	۰/۳۳۳	۰/۳۹۵	-۰/۰۱۷	۰/۳۷۸	۳	مسکونی	
۶/۷۲۳	۰/۲۶۵	۰/۰۳۸	۰/۰۳۲	۱/۷۸۷	-۰/۶۰۳	۱۸۴۱	۳۱	کشاورزی آبی	
۵/۵۴۲	۰/۳۲۴	۰/۰۲۲	۰/۰۸۳	۱/۷۹۷	-۰/۱۹۳	۱/۶۰۴	۱۲	باغ-کشاورزی	
-۰/۰۵۳	۱/۰۰۸	۰/۰۱۷	۱	-۰/۰۵۳	۰/۰۰۰۹	-۰/۰۵۲	۱	کشاورزی-باغ	
								آب	
								بستر رود	
۸/۶۴۳	۰/۳۸۱	۰/۰۲	۰/۱۲۵	۳/۲۹۵	-۰/۱۴۵	۳/۱۵	۸		
-۵/۴۵۳	۰/۷۱۹	۰/۰۱۸	۰/۵	-۳/۹۲۴	۱/۰۰۸	-۲/۹۱۶	۲	مرتع	
-۱/۵۰۲	۱/۰۰۸	۰/۰۱۷	۱	-۱/۵۹۳	۰/۰۶	-۱/۵۳۳	۱	دیم	
								بایر	
								اراضی شور	
-۰/۵۷۱	۱/۰۰۸	۰/۰۱۷	۱	-۰/۵۷۶	۰/۰۱۳	-۰/۵۶۳	۱	شاخص	
-۵/۲۰۵	۰/۳۶۳	۰/۰۲	۰/۱۱۱	-۱/۸۹	۰/۶۳۵	-۱/۲۵۵	۹	روط	
۲/۰۴۱	۰/۲۶۹	۰/۰۲۹	۰/۰۴۳	۰/۵۵	-۰/۱۸۷	۰/۳۶۳	۲۳	توپوگرافی	
۵/۱۳۳	۰/۲۷۴	۰/۰۲۷	۰/۰۴۷	۰/۴۰۹	-۰/۳۲۶	۱/۰۸۳	۲۱	۵-۷	
۱/۷۷۶	۰/۷۱۹	۰/۰۱۸	۰/۵	۱/۲۷۷	-۰/۰۲۵	۱/۲۵۲	۲	۷-۱۰، ۹۴	

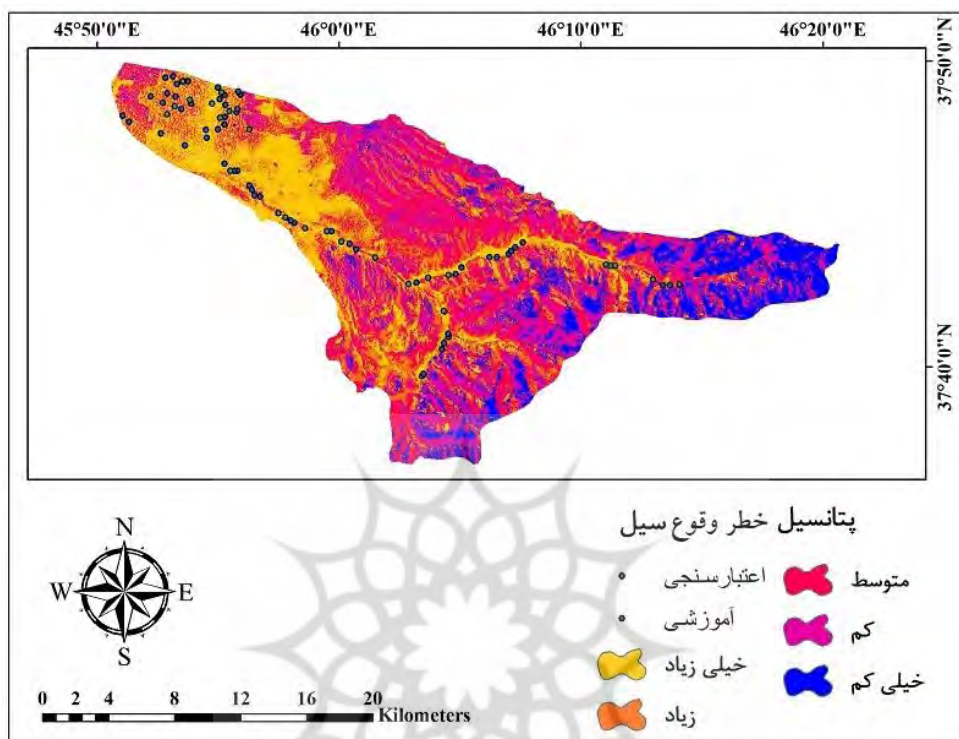
ادامه جدول (۱): ارتباط میان هر یک از عوامل موثر و نقاط سیل با استفاده از مدل WOE

Table (1): The relationship between each of the effective factors and flood points using the WOE model

WF	SC	SW <sup>-</sup>	SW <sup>+</sup>	C	w <sup>-</sup>	w <sup>+</sup>	نقاط سیل	کلاس	پارامتر
۱/۷۱۲	۰/۵۹۳	۰/۰۱۸	۰/۳۳۳	۱/۰۱۵	-۰/۰۳۴	۰/۹۸۱	۳	مسطح	
-۰/۴۷۱	۰/۴۰۳	۰/۰۲۰	۰/۱۴۲	-۰/۱۹۰	۰/۰۲۵	-۰/۱۶۴	۷	شمال	
۰/۹۷	۰/۳۶۳	۰/۰۲	۰/۱۱۱	۰/۳۵۲	-۰/۰۴۸	۰/۳۰۴	۹	شمال شرقی	
۱/۱۱۸	۰/۴۳۱	۰/۰۱۹	۰/۱۶۶	۰/۴۸۲	-۰/۰۴۱	۰/۴۴۱	۶	شرق	
۰/۰۰۴	۰/۵۱۸	۰/۰۱۸	۰/۲۵	۰/۰۰۱	-۰/۰۰۰۱	۰/۰۰۱	۴	جهت شیب	
-۰/۵۲۶	۰/۴۶۸	۰/۰۱۹	۰/۲	-۰/۲۴۶	۰/۰۲۴	-۰/۲۲۲	۵	جنوب	
-۱/۲۳۲	۰/۴۳۱	۰/۰۱۹	۱/۱۶۶	-۰/۰۵۳۱	۰/۰۷۱	۰/۴۶	۶	جنوب غربی	
-۱/۷۳۹	۰/۵۱۸	۰/۰۱۸	۰/۲۵	-۱/۹۴۹	۰/۰۹۷	-۱/۸۵۲	۴	غرب	
۱/۶۸۱	۰/۳۱۵	۰/۰۲۲	۰/۰۷۶	۰/۰۵۳	-۰/۰۹۸	۰/۴۳۲	۱۳	شمال غربی	
۵/۹۷۵	۰/۲۶۵	۰/۰۳۸	۰/۰۳۲	۱/۰۸۹	-۰/۰۵۶۷	۱/۰۲۲	۳۱	۱۵۰۰-	
۰/۳۹۶	۰/۳۴۸	۰/۰۲۱	۰/۱	۰/۱۳۷	-۰/۰۲۲	۰/۱۱۵	۱۰	۱۵۰۰-۳۰۰۰	
۰/۰۰۳	۰/۴۳۱	۰/۰۱۹	۰/۱۶۶	۰/۰۰۱	-۰/۰۰۰۱	۰/۰۰۱	۶	۳۰۰۰-۴۵۰۰	SPI
۰/۳۸۳	۰/۵۹۳	۰/۰۱۸	۰/۳۳۳	۰/۲۲۶	-۰/۰۱	۰/۲۱۶	۳	۴۵۰۰-۶۰۰۰	
-۴/۹۶۲	۰/۴۳۱	۰/۱۹	۰/۱۶۶	-۲/۱۴۱	۰/۵۸۲	-۱/۰۵۵۹	۶	بیشتر از ۶۰۰۰	
۳/۰۱۷	۰/۷۱۹	۰/۰۵	۰/۰۱۸	۲/۰۵۳	-۲/۱۹	۰/۰۳۴	۵۵	۲۷۳-۳۳۰	
.	.	۰/۰۱۷	.	.	.	.	.	۳۳۰-۳۹۰	
.	.	۰/۰۱۷	.	.	.	.	.	۳۹۰-۴۵۰	بارش
.	.	۰/۰۱۷	.	.	.	.	.	۴۵۰-۵۰۰	(میلی متر)
۱/۰۳۸۲	۰/۷۱۹	۰/۰۱۸	۰/۰۵	۰/۰۹۹۴	-۰/۰۲۲	۰/۹۷۲	۲	بیشتر از ۵۰۰	
.	.	۰/۰۱۷	.	.	.	.	.	-۰,۱-۰	
-۴/۰۷۲	۰/۳۲۴	۰/۰۲۲	۰/۰۸۳	-۱/۳۲۲	۰/۴۵۷	-۰/۰۸۶۵	۱۲	۰-۰,۱	
-۰/۹۹۳	۰/۲۸۹	۰/۰۲۵	۰/۰۵۸	-۰/۰۲۸۶	۰/۰۹۴	-۰/۰۱۹۲	۱۷	۰,۱-۰,۲	
۵/۵۶۱	۰/۲۷۲	۰/۰۲۸	۰/۰۴۵	۱/۰۱۳	-۰/۰۳۵۸	۱/۱۵۵	۲۲	۰,۲-۰,۴	
۴/۵۸۲	۰/۴۳۱	۰/۰۱۹	۰/۱۶۶	۱/۰۷۷	-۰/۰۹۵	۱/۰۸۸۲	۶	۰,۴-۰,۵۷	

نتایج وزن دهی کلاس‌های هر یک از لایه‌ها نشان می‌دهد که در ارتباط با پارامتر طبقات ارتفاعی، کلاس ۱۲۸۹-۱۵۰۰ متر با ضریب ۶/۷۷۶ بیشترین وزن را داشته که بیانگر تأثیر زیاد این طبقه در وقوع سیلاب‌های منطقه می‌باشد. در ارتباط با لایه فاصله از آبراهه، کلاس ۲۰۰ متر با ضریب ۵/۶۶۴ بیشترین وزن را به خود اختصاص داده است. فاصله از آبراهه اغلب به عنوان شاخصی برای حساسیت به سیل استفاده می‌شود و مناطق نزدیک‌تر به رودخانه‌ها خطر سیل بالاتری دارند. نزدیکی به زهکشی معمولاً به عنوان فاصله اقلیدسی بین یک مکان خاص و نزدیک‌ترین جریان یا کanal رودخانه اندازه‌گیری می‌شود (کومار و همکاران، ۲۰۲۳). طبقه ۵-۷ در لایه شاخص رطوبت توبوگرافی بیشترین تأثیر را در وقوع سیل نشان می‌دهد. در مورد پارامتر کاربری اراضی، کلاس‌های بستر رودخانه و کشاورزی آبی به ترتیب با ضرایب ۸/۶۴۳ و ۸/۷۲۳ بیشترین وزن را داشته‌اند که نشان‌دهنده پتانسیل زیاد این کلاس‌ها از نظر خطر وقوع سیل می‌باشد. نتایج تحلیل پارامتر شاخص قدرت آبراهه نشان داد که طبقه ۱۵۰۰-۰ با وزن ۵/۹۷۵ بیشترین وزن را داشته است. برای پارامتر تراکم رودخانه طبقه بیشتر از ۸/۰ بیشترین تأثیر را در سیلاب‌های منطقه دارد. کلاس‌های مناطق مسطح و شمال غربی نیز از نظر جهت شیب به ترتیب بیشترین وزن را به خود اختصاص داده‌اند که نشان‌دهنده فراوانی وقوع سیلاب‌های منطقه در این کلاس‌ها می‌باشد. در ادامه وزن نهایی هر ۱۴ عامل مؤثر در رخداد سیل با استفاده از همپوشانی وزنی در محیط ArcGIS ترکیب و نقشه نهایی مناطق دارای

پتانسیل وقوع سیل به دست آمد. شکل (۳) مناطق دارای پتانسیل خطر وقوع سیل آذربایجان غربی را نشان می‌دهد که به ۵ طبقه خیلی زیاد، زیاد، متوسط، کم و خیلی کم طبقه‌بندی شده است که هر طبقه به ترتیب  $19/18$ ،  $19/56$ ،  $21/94$ ،  $24/61$  و  $14/68$  درصد از حوضه را به خود اختصاص داده‌اند. مناطق با پتانسیل خیلی زیاد و زیاد در بخش‌های غربی حوضه و حیریم رودخانه‌های گنبرچای، آلمالوجای و آذربایجان غربی واقع شده‌اند. مناطق با پتانسیل متوسط در محدوده رودخانه و مناطق با پتانسیل کم و خیلی کم در ارتفاعات و سطوح شیبدار واقع شده است.



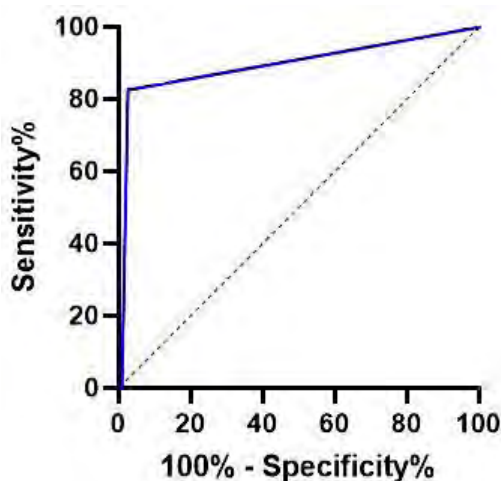
شکل (۳): نقشه پتانسیل خطر وقوع سیل بر اساس مدل WOE

Figure (3): Flood hazard potential map based on WOE model

جهت حصول اطمینان از یافته‌های پژوهش با استفاده از نقاط سیل، اعتبارسنجی نقشه نهایی انجام شد. به‌منظور ارزیابی و اعتبارسنجی نقشه پتانسیل خطر وقوع سیل در حوضه آبریز آذربایجان غربی از روابط sensitivity و specificity و جهت نشان دادن عملکرد مدل از شاخص آماری صحت Accuracy و منحنی ROC استفاده گردید. نتایج این بخش در جدول (۲) و شکل (۴) ارائه شده است.

جدول (۲): نتایج ارزیابی مدل WOE بر اساس داده‌های آموزشی و اعتبارسنجی  
Table (2): WOE model evaluation results based on training and validation data

ROC	Accuracy	sensitivity	Specificity	FN	TN	FP	TP	نوع داده
۰/۹۱	۰/۸۷۲	۰/۹۶	۰/۸۵۹	۲	۵۵	۹	۴۸	آموزشی
	۰/۸۰	۰/۷۲	۰/۷۵۸	۳	۲۲	۷	۱۸	اعتبارسنجی



شکل(۴): منحنی ROC بر اساس داده‌های آموزشی  
Figure (4): ROC curve based on training data

### نتیجه‌گیری

در پژوهش حاضر تلاش شد تا نقشه پتانسیل خطر وقوع سیل در سطح حوضه آبریز آذرشهر چای تهیه گردد. به همین منظور از مدل آماری وزن شواهد به همراه ۱۴ پارامتر مؤثر در وقوع سیلاب استفاده گردید. بررسی ارتباط بین هر یک از کلاس‌های لایه‌های اطلاعاتی با نقاط سیلابی برداشت شده نشان داد که سطح ارتفاعی ۱۵۰۰-۱۲۸۹ متر، فاصله ۰-۲۰۰ متری از آبراهه‌های منطقه، کلاس‌های کشاورزی آبی و بستر رودخانه در لایه کاربری اراضی، کلاس مقادیر ۷-۵ از نظر شاخص رطوبت توپوگرافی، سطوح مسطح و جهت شیب شمال غربی، مناطق با شاخص پوشش گیاهی ۴/۰-۰/۲، پهنه‌های با بارش ۳۳۰-۲۷۳ میلی متر، کلاس بیشتر از مقدار ۰/۸ از نظر پارامتر تراکم آبراهه و کلاس ۰-۱۵۰۰ از نظر شاخص قدرت آبراهه بیشترین تأثیر را در سیلاب‌های منطقه داشته‌اند. نقشه نهایی تهیه شده در ۵ طبقه‌ی خیلی زیاد، زیاد، متوسط، کم و خیلی کم از نظر خطر وقوع سیل طبقه‌بندی گردید که این مناطق به ترتیب ۰/۵۶، ۱۹/۱۸، ۲۴/۶۱، ۱۹/۱۸ و ۲۱/۹۴ درصد از حوضه را به خود اختصاص داده‌اند. بررسی نقشه نهایی نشان داد مناطق با پتانسیل خطر وقوع خیلی زیاد و زیاد در در بخش‌های غربی و حریم رودخانه‌ها و مناطق با پتانسیل وقوع متوسط و کم و خیلی کم در مناطق مرکزی و شرقی حوضه واقع شده‌اند. اعتبارسنجی و ارزیابی نتایج مدل استفاده شده جهت تهیه نقشه خطر وقوع سیل با استفاده از روابط sensitivity و specificity به ترتیب و نشان دادن عملکرد مدل از شاخص آماری صحت Accuracy به کار برده شده در این پژوهش و همچنین مدل برداری ROC با مقادیر ۰/۹۱، ۰/۹۶، ۰/۸۷ و ۰/۸۵ برای داده‌های آموزشی و مقادیر ۰/۷۵، ۰/۸۰، ۰/۷۲ برای داده‌های اعتبارسنجی، بیانگر دقت خوب مدل وزن شواهد قطعی (WOE) در تهیه نقشه خطر وقوع سیل در منطقه بوده است. نتایج به دست آمده از تحقیق حاضر با نتایج محققینی همچون انتظاری و همکاران (۱۳۹۸) در استان کرمانشاه، آزادی و همکاران (۱۳۹۹) در حوضه آبریز رودخانه کشکان واقع در استان لرستان، مطابقت دارد. محققین مذکور در تحقیقات خود به عملکرد خوب مدل‌های آماری در تهیه نقشه‌های پتانسیل خطر وقوع سیل اشاره می‌کنند که نتایج به دست آمده از تحقیق حاضر نیز بیانگر تأیید نتایج این محققین می‌باشد. بنابراین با توجه به نتایج به دست آمده از تحقیق حاضر می‌توان اقدامات حفاظتی را در مناطق پر خطر جهت جلوگیری از وقوع سیل و یا کاهش خسارت‌های احتمالی در صورت وقوع سیل را انجام داد. از جمله محدودیت‌های تحقیق حاضر نیز می‌توان به عدم دسترسی به لایه DEM با قدرت تفکیک بالا در طول مسیر رودخانه آذرشهر چای جهت شبیه‌سازی جریان سیل اشاره کرد.

### References

- Adelekan, I.O. (2011). Vulnerability assessment of an urban flood in Nigeria: Abeokuta flood 2007. Natural Hazards, 56(1), 215–231. doi: 10.1007/s11069-010-9564-z

- Aksoy, H., Kirca, V.S.O., Burgan, H.I., & Kellecioglu, D. (2016). Hydrological and hydraulic models for determination of flood-prone and flood inundation areas. The 7th International Water Resources Management Conference of ICWRS, 373, 137–141. DOI: [10.5194/piahs-373-137-2016](https://doi.org/10.5194/piahs-373-137-2016)
- Aksoy, H., Kirca, V.S.O., Burgan, H.I., Kellecioglu, D. (2016). Hydrological and hydraulic models for determination of flood-prone and flood inundation areas, The 7th International Water Resources Management Conference of ICWRS, 373, 137–141. <https://doi.org/10.5194/piahs-373-137-2016>
- Arora, A.(2023). Flood susceptibility prediction using multi criteria decision analysis and bivariate statistical models: a case study of Lower Kosi River Basin, Ganga River Basin, India. Stochastic Environmental Research and Risk Assessment, 37, 1855-1875. doi:[10.1007/s00477-022-02370-4](https://doi.org/10.1007/s00477-022-02370-4)
- Azadi, F., Sadouq, S. H., Ghahrodi, M., & Shahabi, H. (2020). Flood risk sensitivity zoning in Kashkan river watershed using WOE and EBF models. Geography and Environmental Hazards Journal. 9(1), 45-60. Doi.org/[10.22067/geo.v9i1.83090](https://doi.org/10.22067/geo.v9i1.83090). (In Persian).
- Bayati Khatibi, M., Karami, F., Zahedi, M., & Mokhtari, D. (2011). Investigating the effects of recent droughts on the intensification of gully erosion and the occurrence of landslides in Azarshahrchay basin, using the artificial neural network method. Geographical Research Quarterly, 2(101), 19-48. (In Persian).
- Bayati Khatibi, M., Rajabi ,M., & Nikjoo ,M.R. (2004). Investigation and analysis of the homogeneity of valley evolution in Sahand mountain massif. Research project of Faculty of Humanities and Social Sciences. 109-118. (In Persian).
- Bousta, M., Brahim, L. (2018). Weights of evidence method for landslide susceptibility mapping in Tangier, Morocco. Geoenvironmental Disasters, 149(1-4), 1-6. doi.org/[10.1051/matecconf/201814902042](https://doi.org/10.1051/matecconf/201814902042)
- Douglas, L. W. (2005). Weight of Evidence: A Review of Concept and Methods. Risk Analysis, 25(6), 1545-1557. doi:[10.1111/j.1539-6924.2005.00699](https://doi.org/10.1111/j.1539-6924.2005.00699)
- Ebrahimi, E., Araújo, M. B., & Niami, B. (2023). Flood susceptibility mapping to improve models of species distributions .Ecological Indicators, 157, 1-14. doi.org/[10.1016/j.ecolind.2023.111250](https://doi.org/10.1016/j.ecolind.2023.111250)
- Entezari, M., Jalilian, T., Darvishi Khatooni, J. (2020). Classification map of the sensitivity of flooding using the method of assessment frequency and weight of evidence in the Kermanshah Province. Journal of Spatial Analysis Environmental Hazards, 6 (4), 143-162. (In Persian).
- Getachew, N., Meten, M. (2021). Weights of evidence modeling for landslide susceptibility mapping of Kabi-Gebro locality, Gundomeskel area, Central Ethiopia. Geoenvironmental Disasters, 8(6), 1-22. doi.org/[10.1186/s40677-021-00177-z](https://doi.org/10.1186/s40677-021-00177-z)
- Gorganji Douji, A., Jandaghi, N., GHarehmahmoudlou, M., & Nikghojagh,Y. (2021). The effect of natural spreading of March 2017 flood on the quantitative and qualitative characteristics of groundwater in the flood plain of the end part of Gorganrood watershed. Ecohydrology, 2(8), 535-550. (In Persian).
- Jelmer, V. (2013) .Flood vulnerability assessment on a commune level in Vietnam. University of Twente, The Netherlands, Bachelor Civil Engineering, 1-54.
- Jiang, W., Deng, L., Chen, L., Jianjun, W., & Jing, L. (2009). Risk assessment and validation of flood disaster based on fuzzy mathematics. Progress in Natural Science, 19(10), 1419-1425. doi:[10.1016/j.pnsc.2008.12.010](https://doi.org/10.1016/j.pnsc.2008.12.010)

- Kumar, R., Kumar, M., Tiwari, A., Majid, S.I., Bhadwal, S., Sahu, N., & Avtar, R. (2023). Assessment and Mapping of Riverine Flood Susceptibility (RFS) in India through Coupled Multicriteria Decision Making Models and Geospatial Techniques. *Water*, 15(22), 1-31. doi:[org/10.3390/w15223918](https://doi.org/10.3390/w15223918)
- Lee, S., Choi, J. (2003). Landslide susceptibility mapping using GIS and the weight-of-evidence model. *International Journal of Geographical Information Science*, 18(8), 789–814. doi: [10.1080/13658810410001702003](https://doi.org/10.1080/13658810410001702003)
- Maulana, B.I., Hidayah ,E., Halik, G. (2023). Flood Susceptibility Mapping in Gending District by Comparison Frequency Ratio and Weight of Evidence for Mitigation Strategy. *U KaRsT*, 7(1), 17–32. doi:[org/10.30737/ukarst.v7i2.3999](https://doi.org/10.30737/ukarst.v7i2.3999)
- Mersha, T., Meten, M. (2020). GIS-based landslide susceptibility mapping and assessment using bivariate statistical methods in Simada area, northwestern Ethiopia. *Geoenvironmental Disasters*, 7(20), 1-22. doi:[org/10.1186/s40677-020-00155-x](https://doi.org/10.1186/s40677-020-00155-x)
- Mohammadi, L., Ahmadi Marzaleh, M., Peyravi, M.R. (2021). Report of Field Assessment in the Flooded Areas of Iran, 2019, *Health in Emergencies and Disasters Quarterly*, 6(2), 73-78. doi:[org/10.32598/hdq.6.2.190.1](https://doi.org/10.32598/hdq.6.2.190.1). (In Persian)
- Ntajal, J., Lamptey, B.L., Mahamadou, I. B., & Nyarko, B.K. (2017). Flood disaster risk mapping in the Lower Mono River Basin in Togo, West Africa. *International Journal of Disaster Risk Reduction*, 23, 93-103. doi:[org/10.1016/j.ijdrr.2017.03.015](https://doi.org/10.1016/j.ijdrr.2017.03.015).
- Pakhale, Gaurav., Rakhesh, Khosa., Gosain, AshwinL. (2023). Are floods really increasing? A case study from Krishna River Basin, India, *Natural Hazards Research*, 3(3), 374-384. doi:[org/10.1016/j.nhres.2023.06.007](https://doi.org/10.1016/j.nhres.2023.06.007).
- Paul, G.C., Saha, S., Hembram, T .(2019). Application of the GIS-Based Probabilistic Models for Mapping the Flood Susceptibility in Bansloj Sub-basin of Ganga-Bhagirathi River and Their Comparison. *Remote Sensing in Earth Systems Sciences*, 2, 120-146. DOI:[10.1007/s41976-019-00018-6](https://doi.org/10.1007/s41976-019-00018-6)
- Rahimpour, T., Rezaei Moghaddam, M.H., Hejazi, S.A. & Vlaizadeh Kamran, K. (2023). Flood Susceptibility Modeling in the Aland Chai Basin using New Ensemble Classification Approach (FURIA-GA-LogitBoost). *Journal of Geography and Environmental Hazards*, 12(1), 1-24. doi: [10.22067/geoeh.2022.74170.1141](https://doi.org/10.22067/geoeh.2022.74170.1141). (In Persian)
- RazaviTermeh, S.V., Pourghasemi, H.M., Alidadganfar, F. (2018). Preparation of flood potential map using decision-making methods of hierarchical analysis and TOPSIS and event weight statistical model (case study: Jahorm city, Fars province). *Research paper on watershed management*, 17(9), 67-81). (In Persian).
- Rezaei Moghaddam, M. H., hejazi, A., Valizadeh kamran, K., & Rahimpour, T. (2020). Flood Analysis of Subbasins Using WASPAS Model (Case Study: Aland Chai Basin, Northwest of Iran). *Hydrogeomorphology*, 7(24), 83-106. doi: [10.22034/hyd.2020.39815.1534](https://doi.org/10.22034/hyd.2020.39815.1534). (In Persian)
- Rezaei Moghaddam, M. H., Rahimpour, T. (2024). Evaluating of Flood hazard potential using bivariate statistical analysis method (Case study: Aji Chai basin). *Quantitative Geomorphological Research*, 12(4), 91-107. doi: [10.22034/gmpj.2024.429929.1473](https://doi.org/10.22034/gmpj.2024.429929.1473). (In Persian)
- Rezaei Moghaddam, M. H., Rahimpour, T. (2024). Preparation of flood hazard potential map using two methods: Frequency Ratio and Statistical Index (Case study: Aji Chai Basin). *Environmental Management Hazards*, 10(4), 291-308. doi: [10.22059/jhsci.2024.369163.803](https://doi.org/10.22059/jhsci.2024.369163.803). (In Persian)

- Saffari, A., Mohammadi, S., Ahmadabadi, A., Darabi, S. (2022). Adaptive flood zoning in Cheshmekile watershed, Tenkabon. *Hydrogeomorphology*, 33(9), 127-147. (In Persian)
- Saghafian, B., Saedi, A., & Moazzemi, S. (2020). Uncertainty analysis of flood forecasting with group forecasting of seven numerical models for Golestan flood in spring 2018. *Iran's water resources researches*, 1(16), 347-359. (in Persian).
- Sharafat Chowdhury, M.D. (2024). Flash flood susceptibility mapping of north-east depression of Bangladesh using different GIS based bivariate statistical models. *Watershed Ecology and the Environment*, 6, 26-40. [doi.org/10.1016/j.wsee.2023.12.002](https://doi.org/10.1016/j.wsee.2023.12.002)
- SiahKamari, S., Zeinivand, S. (2016). Identifying the potential of flood-prone areas using the statistical index model and weight of evidence (case study: Maderso watershed, Golestan). *Remote Sensing and Geographical Information System in Natural Resources (Application of Remote Sensing and GIS in Natural Resources Sciences)*, 4(7), 116-133.
- Singh ,G. (2021). Hybrid ensemble modeling for flash flood potential assessment and susceptibility analysis of a Himalayan river catchment. *Geocarto International*, 37(25), 9132-9159. [doi.org/10.1080/10106049.2021.2017007](https://doi.org/10.1080/10106049.2021.2017007)

Tarrío, D., Ruiz-Villanueva, V., Garrote, J., Benito, G., Calle, M., Lucia, A., & Díez-Herrero , A. (2023). Effects of sediment transport on flood hazards: Lessons learned and remaining challenges. *Geomorphology*, (446), 1-22. [doi.org/10.1016/j.geomorph.2023.108976](https://doi.org/10.1016/j.geomorph.2023.108976)

